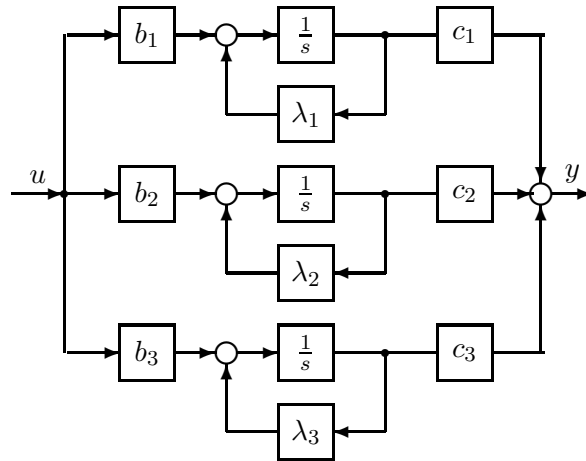


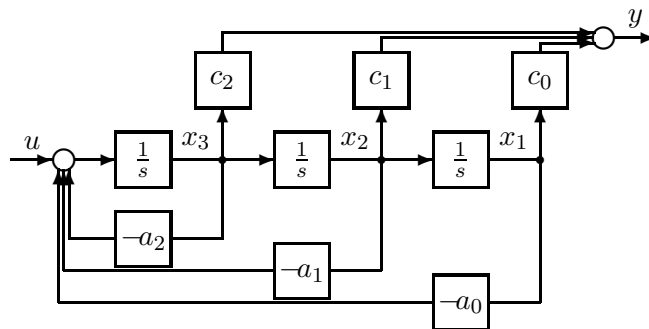
Zustandsraummodelle, Blockschaltbilder und Übertragungsfunktionen

a)



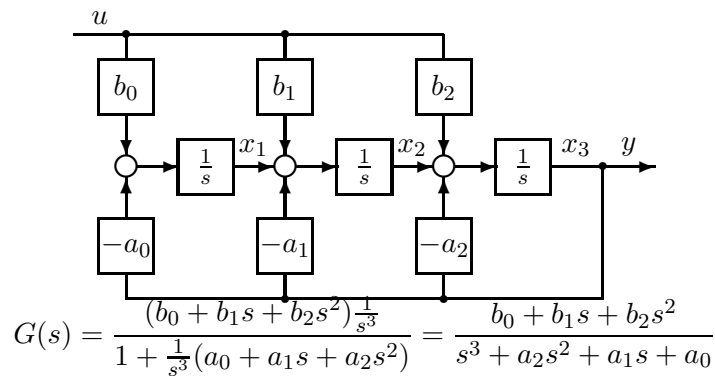
$$G(s) = \frac{b_1 c_1}{s - \lambda_1} + \frac{b_2 c_2}{s - \lambda_2} + \frac{b_3 c_3}{s - \lambda_3}$$

b)



$$G(s) = \frac{\frac{1}{s^3}(c_2 s^2 + c_1 s + c_0)}{1 + \frac{1}{s^3}(a_2 s^2 + a_1 s + a_0)} = \frac{c_2 s^2 + c_1 s + c_0}{s^3 + a_2 s^2 + a_1 s + a_0}$$

c)



$$G(s) = \frac{(b_0 + b_1 s + b_2 s^2) \frac{1}{s^3}}{1 + \frac{1}{s^3}(a_0 + a_1 s + a_2 s^2)} = \frac{b_0 + b_1 s + b_2 s^2}{s^3 + a_2 s^2 + a_1 s + a_0}$$

1) Zur Funktion des Wendekreisels:

Nach Drallsatz: $M = L \times \Omega_e$, $L = k_1 = \text{Drehimpuls des Kreisels}$

Momentengleichgewicht: Summe aller Momente, die auf Achse A einwirken.

Bewegung um Φ_a führt zu einer Auslenkung $x = r \cdot \sin \Phi_a$.

Die Momente am Feder-Dämpfer System können beschrieben werden durch:

Moment = Hebel*Kraft also $M = r \cdot F$ wobei $F_{\text{Feder}} = cx$ und $F_{\text{Dämpfung}} = d\dot{x}$

Die erzeugten Momente an der Achse A sind damit: $J\ddot{\Phi}_a$, $rc \cdot x$ und $rd \cdot \dot{x}$

Durch die Fesselung (Feder-Dämpfer-System) wird im stationären Zustand eine proportionale Abhängigkeit zwischen Ω_e und Φ_a erreicht (s. Gl.).

$$2) F(\Phi_a, \dot{\Phi}_a, \ddot{\Phi}_a) = k_1 \Omega_e = J\ddot{\Phi}_a + r^2 d \dot{\Phi}_a \cos \Phi_a + r^2 c \sin \Phi_a$$

$$\Delta F(\Phi_a, \dot{\Phi}_a, \ddot{\Phi}_a) = \left. \frac{\partial F}{\partial \Phi_a} \right|_{AP} \cdot \Delta \Phi_a + \left. \frac{\partial F}{\partial \dot{\Phi}_a} \right|_{AP} \cdot \Delta \dot{\Phi}_a + \left. \frac{\partial F}{\partial \ddot{\Phi}_a} \right|_{AP} \cdot \Delta \ddot{\Phi}_a \quad \text{mit Ruhelage: } \Phi_a = \dot{\Phi}_a = \ddot{\Phi}_a = 0$$

$$\left. \frac{\partial F}{\partial \Phi_a} \right|_{AP} \cdot \Delta \Phi_a = \left(-r^2 d \dot{\Phi}_a \sin \Phi_a + r^2 c \cos \Phi_a \right)_{AP} \Delta \Phi_a = r^2 c \cdot \Delta \Phi_a$$

$$\left. \frac{\partial F}{\partial \dot{\Phi}_a} \right|_{AP} \cdot \Delta \dot{\Phi}_a = (r^2 d \cos \Phi_a)_{AP} \Delta \dot{\Phi}_a = r^2 d \cdot \Delta \dot{\Phi}_a$$

$$\left. \frac{\partial F}{\partial \ddot{\Phi}_a} \right|_{AP} \cdot \Delta \ddot{\Phi}_a = J \cdot \Delta \ddot{\Phi}_a$$

$$G(\Phi_a) = u_a = k_2 \cdot \Phi_a$$

$$\left. \frac{dG}{d\Phi_a} \right|_{AP} \cdot \Delta \Phi_a = k_2 \cdot \Delta \Phi_a$$

$$3) J\ddot{\Phi}_a + d^* \dot{\Phi}_a + c^* \Phi_a = k_1 \Omega_e; \quad u_a = k_2 \Phi_a; \quad \Phi_e = \int \Omega_e dt$$

$$G_1(s) = \frac{u_a(s)}{\Phi_e(s)} = \frac{k_1 k_2 s}{Js^2 + d^* s + c^*}; \quad \text{DT}_2\text{-Verhalten}$$

$$G_2(s) = \frac{u_a(s)}{\Omega_e(s)} = \frac{k_1 k_2}{Js^2 + d^* s + c^*}; \quad \text{PT}_2\text{-Verhalten}$$

4) Anregung $\Phi_e(t)$	$\delta(t)$	$\sigma(t)$	$t \cdot \sigma(t)$	Vergleich mit Bild von $u_a(t)$ zeigt: $\Phi_e(t) = t \cdot \sigma(t)$
Anfangswert, $u_a(+0)$	$\frac{k_1 k_2}{J}$	0	0	
Endwert, $u_a(\infty)$	0	0	$\frac{k_1 k_2}{c^*}$	

$$1) \quad \ddot{v}_L(t) + \frac{g}{L}v_L(t) = \frac{g}{L}v_K(t) \quad \circ \longrightarrow \bullet \quad s^2V_L(s) - sv_L(t=0) - \dot{v}_L(t=0) + \frac{g}{L}V_L(s) = \frac{g}{L}V_K(s)$$

Annahme: System anfangs in Ruhe $\rightarrow \dot{v}_L(t=0) = v_L(t=0) = 0$

Anregung durch Sprungfunktion: $v_K(t) = v_{K_0}\sigma(t) \quad \circ \longrightarrow \bullet \quad V_K(s) = v_{K_0}\frac{1}{s}$

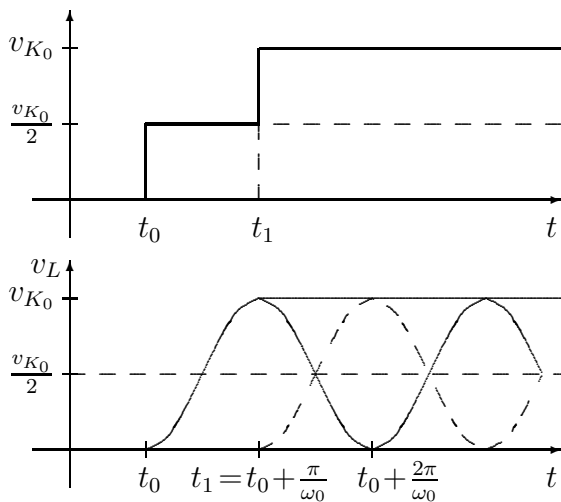
$$\rightarrow \quad V_L(s) = \frac{\frac{g}{L}}{s(s^2 + \frac{g}{L})}v_{K_0} \quad \bullet \longleftarrow \circ \quad v_L(t) = (1 - \cos(\sqrt{\frac{g}{L}}t))v_{K_0} = (1 - \cos(\omega_0 t))v_{K_0}$$

Entspricht einer ungedämpften Dauerschwingung mit Eigenfrequenz $\omega_0 = \sqrt{\frac{g}{L}}$.

2) Superpositionsprinzip (für LTI-Systeme):

Erzeugt ein System aus Eingangsgröße u_1 die Ausgangsgröße y_1 , und aus Eingangsgröße u_2 die Ausgangsgröße y_2 , so erzeugt es aus der Summe $u_1 + u_2$ auch am Ausgang die Summe $y_1 + y_2$ für bel. u_1 und u_2 .

Am Eingang werden zwei Sprünge mit jeweils $v_{K_0}/2$ angelegt, damit ergibt sich folgendes skizziertes Ausgangssignal:



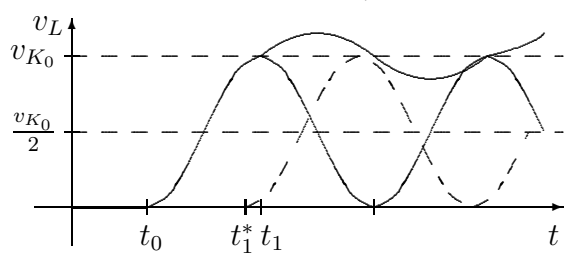
Wie aus der Skizze ersichtlich, bewegt sich die Last ab Zeitpunkt t_1 mit konstanter Geschwindigkeit. Dafür muss für $t > t_1$ gelten:

$$v_{L, \text{Ges}}(t) = v_L(t - t_0) + v_L(t - t_1) \stackrel{!}{=} v_{K_0} \\ \Leftrightarrow \cos(\omega_0(t - t_0)) + \cos(\omega_0(t - t_1)) = 0$$

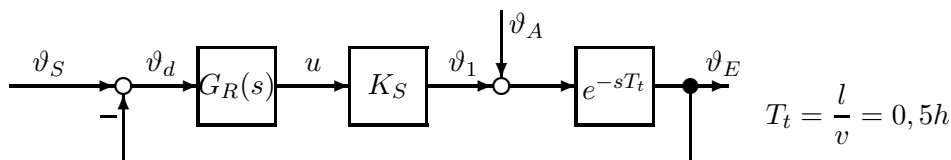
mit $\cos(\varphi - \pi) = -\cos(\varphi)$ erhält man die Bedingung:

$$\Delta\varphi = \omega_0(t - t_0) - \omega_0(t - t_1) \stackrel{!}{=} \pi \\ \Leftrightarrow t_1 = t_0 + \frac{\pi}{\omega_0}$$

$$3) \quad L^* = 0,8L \quad \longrightarrow \quad \omega_0^* = \sqrt{\frac{g}{L^*}} = \frac{\omega_0}{\sqrt{0,8}} \quad \longrightarrow \quad t_1^* - t_0 \approx 0,9\pi/\omega_0$$



1)



2) $G_R = K_R$, $G_0(j\omega) = K_0 \cdot e^{-j\omega T_t}$

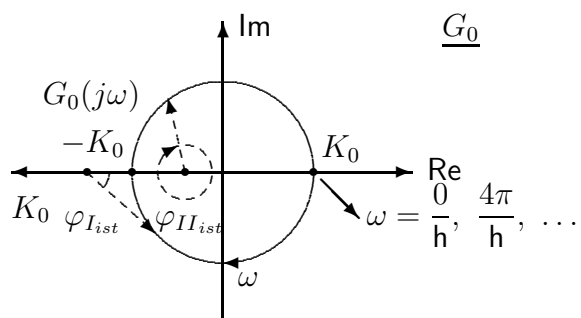
RK stab. in beiden Fällen für $-K_0 > -1 \implies \underline{|K_0| < 1}$

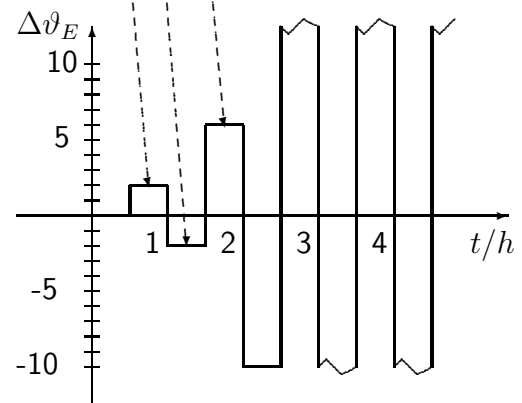
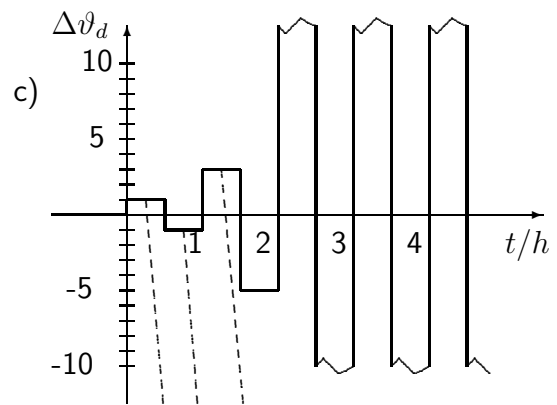
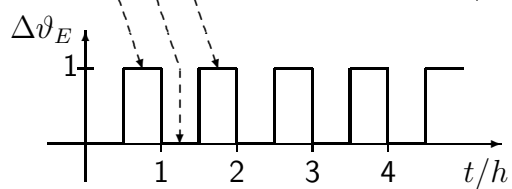
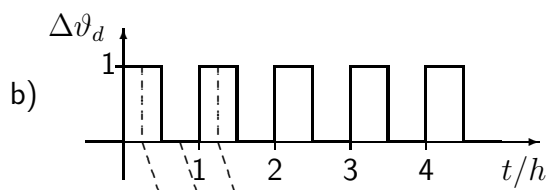
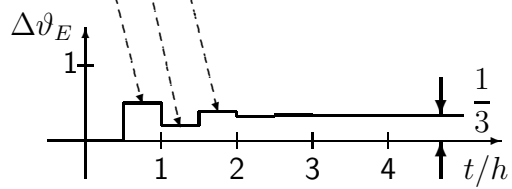
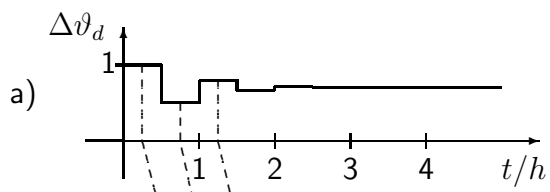
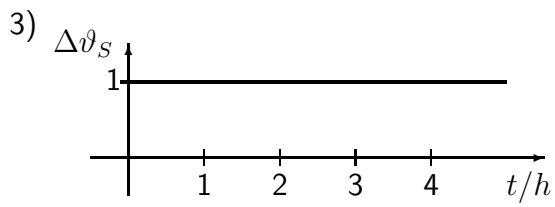
Nyquist Kriterium:

$W_{soll} = 0$, $W_{ist} = 0$ wenn P_{Krit}
ausserhalb des Kreises

Für negative K_0 gilt auch:

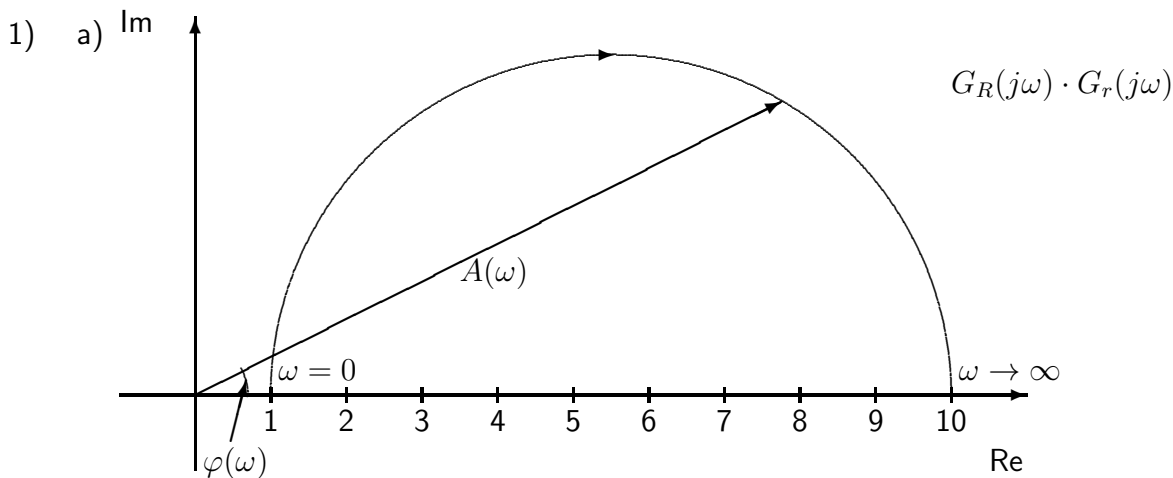
$W_{soll} = 0$, $W_{ist} = 0$ wenn P_{Krit}
ausserhalb des Kreises





a) $\Delta\vartheta_E(t \rightarrow \infty) = \lim_{s \rightarrow 0} \frac{G_0(s)}{1 + G_0(s)} = \frac{K_0}{1 + K_0} = \frac{1}{3}$

b) und c) Stationärer Endwert existiert nicht!



b) $G_S(s) = \frac{0,9}{s^2} \rightarrow$ (Amplitudenabfall 2:1 bei $|G_S(j1)| = 0,9$)

$\angle G_S = -180^\circ \rightarrow \angle(G_0) = \angle(G_R G_r) - 180^\circ$ (s. Bodediagramm)

c) $K_P \approx 0,6$: Damit $|G_0|$ bei $\omega_B = 2$ den Wert 1 hat, muß $|G_0|$ bzw. $|G_R G_r|$ um die eingezeichnete Strecke nach unten geschoben werden. Daraus ergibt sich K_P .

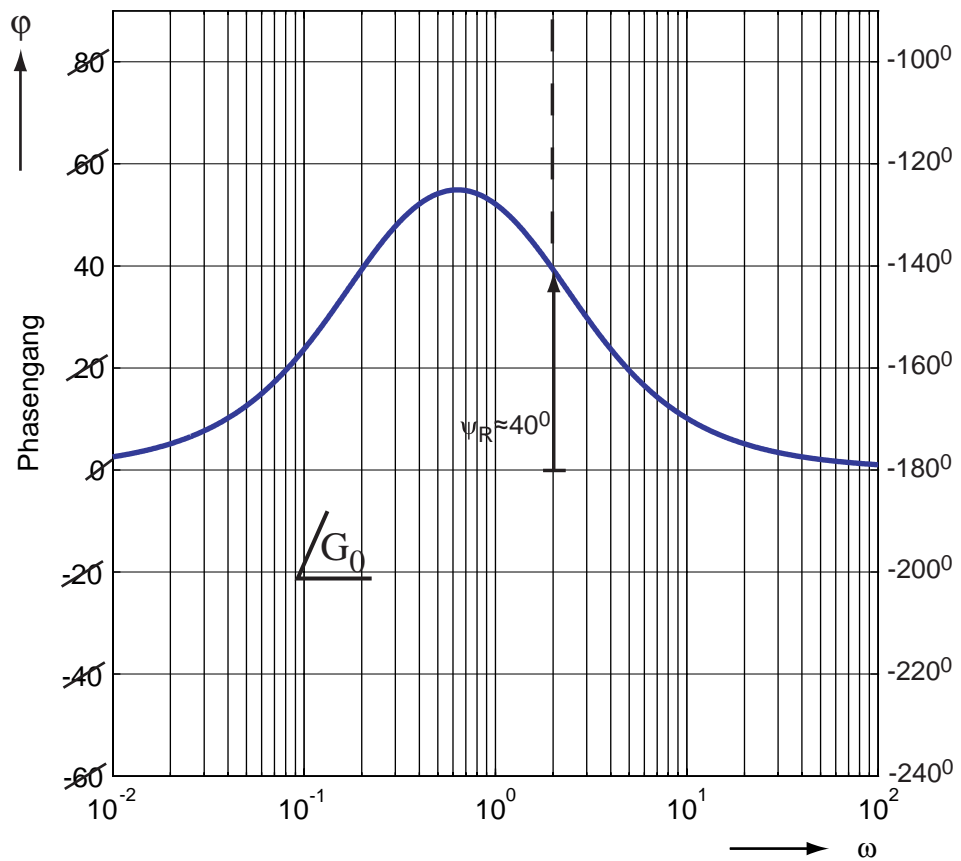
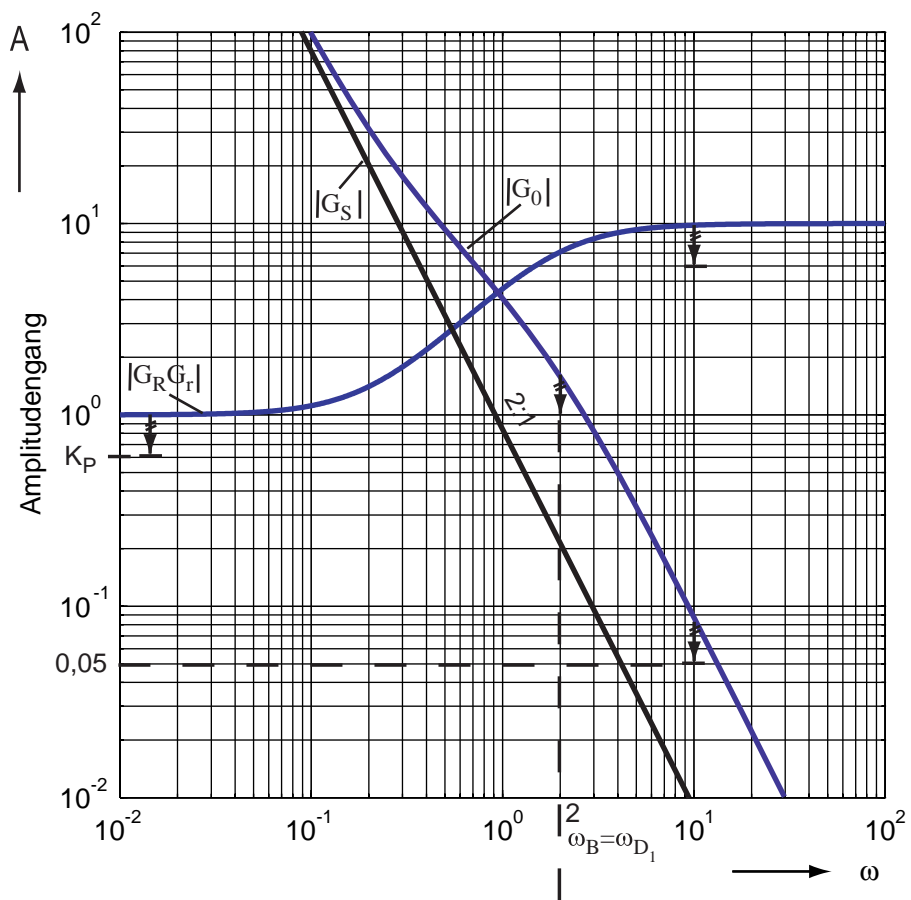
d) $\varphi_R \approx 40^\circ$, A_R existiert nicht, da eine Phasenänderung von -180° nicht erreicht wird
 \Rightarrow Regelkreis stabil (für beliebige Verstärkungswerte!)

2) $|G_0(j \cdot 10)| \approx 0,05$; $|G_S(j \cdot 10)| = 0,009$ aus dem Bode-Diagramm abgelesen!

$y(s) = \frac{-G_0}{1 + G_0} z_3(s)$; da $|G_0(j \cdot 10)| \ll 1 \rightarrow \hat{y} = |G_0| \cdot \hat{z}_3 \rightarrow \underline{\hat{y} \approx 0,1}$ (um Faktor 20 gedämpft)

$\hat{e} = \frac{\hat{y}}{|G_S| \cdot |G_R|}$; $|G_R(j \cdot 10)| = 30 \rightarrow \hat{e} = \frac{1}{0,009 \cdot 30} \cdot \hat{y} \rightarrow \underline{\hat{e} \approx 0,37}$

Bodediagramm zu Aufgabe 2



- Zur Funktion des Regelkreises:

Die Folienstärke nimmt zunächst die Spaltweite der Wärmedehnbolzen an, sie vergrößert sich (im stationären Fall) dann um Faktor 1,2 (s. Blockschaltbild).

Der innere Regelkreis ist für die Spaltweitenregelung (über den Strom i_H) zuständig, und der äußere für die eigentliche Regelaufgabe (Folienstärke)!

$$1) T_2 = 10 \longrightarrow T_i = 1$$

$$\begin{aligned} \text{char. Polynom} \quad N(s) &= (1 + 2s)(1 + 0,1s) + 2K_{R1} = (1 + s)(c_1 + c_2s) \\ \text{des inneren RK} \quad 0,2s^2 + 2,1s + (2K_{R1} + 1) &= c_2s^2 + (c_1 + c_2)s + c_1 \end{aligned}$$

$$\text{Koeffizientenvergleich: } c_1 = 1,9; c_2 = 0,2; \underline{K_{R1} = 0,45}$$

$$G_{w1}(s) = \frac{b}{b_w} = \frac{0,9}{(1+s)(1,9+0,2s)} = \frac{0,47}{(1+s)(1+0,1s)}$$

$$2) G_{w1}^*(s) = \frac{0,47}{1+s} \quad \text{Nach Reduktion bleibt das stationäre Verhalten von } G_{w1}(s) \text{ und } G_{w1}^*(s) \text{ identisch!}$$

$$3) b(t \rightarrow \infty) = \lim_{s \rightarrow 0} \frac{\frac{-2}{1+2s}}{1 + \frac{2}{1+2s} \cdot \frac{0,45}{1+0,1s}} = \frac{-2}{1,9} = -1,05$$

- 4) Struktur: PI-Regler; damit keine bleibende Regeldifferenz und eine Nullstelle

$$\longrightarrow G_{R2}(s) = K_P \left(1 + \frac{1}{T_n s} \right) = K_P \left(\frac{T_n s + 1}{T_n s} \right)$$

$$* T_2 = 10 \text{ große Zeitkonstante: } 1 + T_n s = 1 + 10s \longrightarrow \underline{T_n = 10}$$

$$\begin{aligned} * \text{ char. Pol. des geschl. RK: } N(s) &= T_n s(1+s) + K_P \cdot 0,47 \cdot 1,2 \\ &= 10s^2 + 10s + 0,564K_P = 0 \end{aligned}$$

aperiodischer Grenzfall $\hat{=}$ reeller Doppelpol $\hat{=}$ ($D = 1$)

die Diskriminante muss also gleich Null sein $\longrightarrow 25 - 5,64K_P = 0 \longrightarrow \underline{K_P = 4,43}$

$$G_{R2} = 4,43 \left(1 + \frac{1}{10s} \right)$$

- 5) Die Strecke hat proportional-verzögerndes Verhalten \longrightarrow Einsatz eines I-Reglers ergibt keine bleibende Regeldifferenz:

$$d(t \rightarrow \infty) = b(t \rightarrow \infty) = 0 \quad \text{für } z_H = \sigma(t)$$

1) Strecke: $\dot{\underline{x}} = A\underline{x} + \underline{b}_1 u + \underline{b}_2 z$

Beobachter: $\dot{\hat{\underline{x}}} = A\hat{\underline{x}} + \underline{b}_1 u$

\Rightarrow Schätzfehler-Dgl.: $\dot{\tilde{\underline{x}}} = \dot{\hat{\underline{x}}} - \dot{\underline{x}} = A\tilde{\underline{x}} - \underline{b}_2 z = \begin{bmatrix} -1 & 0 \\ 0,2 & -0,1 \end{bmatrix} \tilde{\underline{x}} - \begin{bmatrix} 0 \\ -0,2 \end{bmatrix} z$

stat. Fehler: $\dot{\tilde{\underline{x}}} = \underline{0} \Rightarrow \tilde{\underline{x}}(\infty) = A^{-1}\underline{b}_2 \cdot \sigma(t) = [0 \ 2]^T \sigma(t)$

2) Strecke: $\dot{\underline{x}} = A\underline{x} + \underline{b}_1 u + \underline{b}_2 z$

Beobachter: $\dot{\hat{\underline{x}}} = (A - \underline{l}\underline{c}^T)\hat{\underline{x}} + \underline{b}_1 u + \underline{l}y$

\Rightarrow Schätzfehler-Dgl.: $\dot{\tilde{\underline{x}}} = (A - \underline{l}\underline{c}^T) \tilde{\underline{x}} - \underline{b}_2 z = \begin{bmatrix} -1 & -l_1 \\ 0,2 & -0,1 - l_2 \end{bmatrix} \tilde{\underline{x}} - \begin{bmatrix} 0 \\ -0,2 \end{bmatrix} z$

Eigenwerte der Beobachtermatrix $A_{Beo} = A - \underline{l}\underline{c}^T$:

$\det(\lambda E - (A - \underline{l}\underline{c}^T)) = \det \begin{bmatrix} \lambda + 1 & l_1 \\ -0,2 & \lambda + 0,1 + l_2 \end{bmatrix} \stackrel{!}{=} (\lambda + 2)^2 \Rightarrow \underline{l}^T = [5 \ 2,9]$

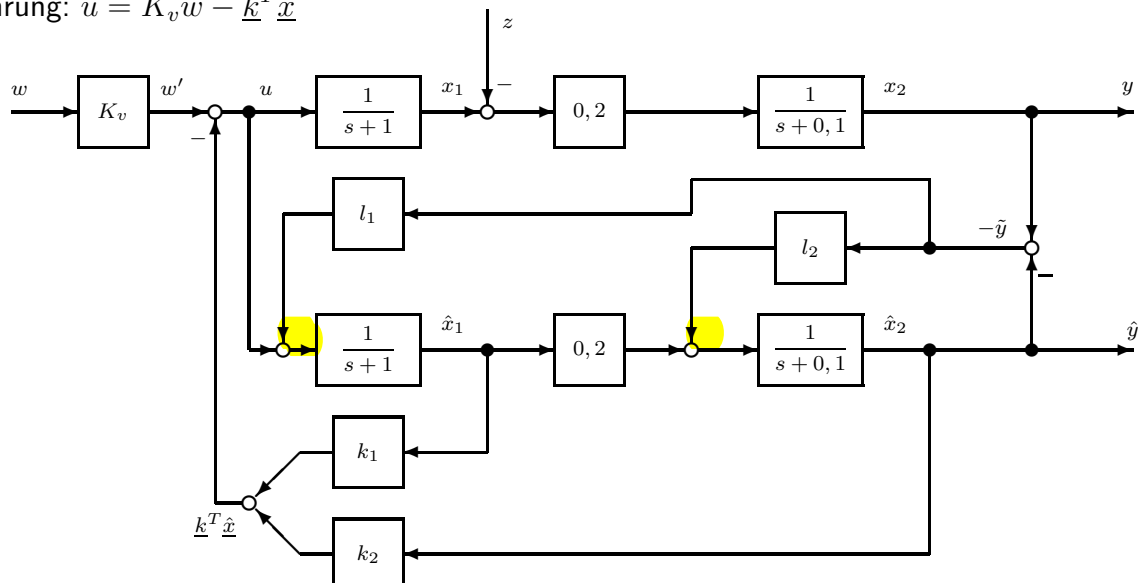
3) stat. Fehler: $\dot{\tilde{\underline{x}}} = \underline{0} \Rightarrow \tilde{\underline{x}}(\infty) = (A - \underline{l}\underline{c}^T)^{-1}\underline{b}_2\sigma(t) = \frac{\sigma(t)}{l_1 + 5l_2 + 0,5} \begin{bmatrix} -l_1 \\ 1 \end{bmatrix}$

mit eingesetzten Zahlenwerten: $\tilde{\underline{x}}(\infty) = [-0,25 \ 0,05]^T \sigma(t)$

4) Strecke: $\dot{\underline{x}} = A\underline{x} + \underline{b}_1 u + \underline{b}_2 z$

Beobachter: $\dot{\hat{\underline{x}}} = (A - \underline{l}\underline{c}^T)\hat{\underline{x}} + \underline{b}_1 u + \underline{l}y = A\hat{\underline{x}} + \underline{b}_1 u + \underline{l}(y - \underline{c}^T\hat{\underline{x}}) = A\hat{\underline{x}} + \underline{b}_1 u + \underline{l}\underbrace{(y - \hat{y})}_{-\tilde{y}}$

Rückführung: $u = K_v w - \underline{k}^T \hat{\underline{x}}$



$$\begin{aligned}
5) \quad -G_{komp}^y(s) &= \underline{k}^T (sE - A + \underline{l}\underline{c}^T + \underline{b}_1\underline{k}^T)^{-1} \underline{l} = \\
&= \frac{(k_1 l_1 + k_2 l_2)s + 0,1k_1 l_1 + 0,2k_2 l_1 + k_2 l_2}{s^2 + (1,1 + k_1 + l_2)s + k_1(0,1 + l_2) + 0,2k_2 + 0,1 + 0,2l_1 + l_2} \\
&= \frac{66,845(s + 1,075)}{s^2 + 6,9s + 16,31} \quad (\text{PDT}_2\text{-Verhalten})
\end{aligned}$$

$$\begin{aligned}
G_{komp}^{w'}(s) &= -\underline{k}^T (sE - A + \underline{l}\underline{c}^T + \underline{b}_1\underline{k}^T)^{-1} \underline{b}_1 + 1 = \\
&= \frac{-k_1 s - k_1(0,1 + l_2) - 0,2k_2}{s^2 + (1,1 + k_1 + l_2)s + k_1(0,1 + l_2) + 0,2k_2 + 0,1 + 0,2l_1 + l_2} + 1 \\
&= \frac{-2,9(s + 4,245)}{s^2 + 6,9s + 16,31} + 1
\end{aligned}$$

$$\begin{array}{ll}
\text{Pole:} & \left. \begin{array}{l} \text{Regelung:} \quad s_{1/2} = -2 \\ \text{Beobachter:} \quad s_{3/4} = -2 \end{array} \right\} = \text{Pole des geschlossenen Regelkreises} \\
G_{komp}^{y,w'}: & \left. \begin{array}{l} s_{1/2} = -3,45 \pm 2,099j \\ G_s(s): \quad s_3 = -1 \\ \quad \quad \quad s_4 = -0,1 \end{array} \right\} = \text{Pole des offenen Regelkreises}
\end{array}$$

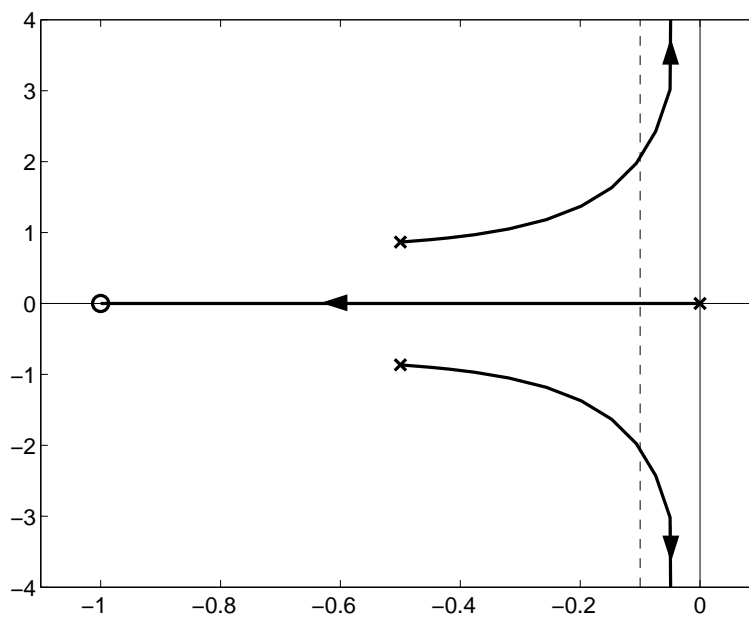
$$1) E(s) = W(s) - Y(s) = W(s) - \frac{G_P G_R}{1 + G_P G_R} W(s) = W(s) \cdot \left(1 - \frac{G_P G_R}{1 + G_P G_R}\right) = W(s) \frac{1}{1 + G_P G_R}$$

$$E(s) = \frac{1}{s} \cdot \frac{1}{1 + \frac{1}{s^2 + s + 1} K \frac{s+1}{s}} = \frac{1}{s} \cdot \frac{s(s^2 + s + 1)}{s(s^2 + s + 1) + K(s+1)} = \frac{s^2 + s + 1}{s^3 + s^2 + (1+K)s + K}$$

$$2) c_0 = c_1 = c_2 = d_2 = d_3 = 1; \quad d_1 = (1+K); \quad d_0 = K \quad \Rightarrow I(K) = \frac{K(1+K) - K + 1}{2K(1+K - K)} = \frac{K^2 + 1}{2K}$$

$$3) I'(K) = \frac{2K(2K) - (K^2 + 1)2}{4K^2} = \frac{2K^2 - 2}{4K^2} \stackrel{!}{=} 0 \quad \Rightarrow 2K^2 - 2 = 0 \Leftrightarrow K = \pm 1 \Rightarrow K_{opt} = 1$$

$$4) \text{ Übertragungsfunktion des offenen Kreises: } G_0(s) = \frac{1}{s^2 + s + 1} \cdot K \cdot \frac{s+1}{s}$$



NS: $n = -1$

Pole: $p_1 = 0, p_{2/3} = -0,5 \pm j0,5\sqrt{3}$

Wurzelschwerpunkt: $p_w = 0, \varphi_1 = \frac{\pi}{2}, \varphi_2 = \frac{3\pi}{2}$ } WOK

K_{min} : Betrachte Ast auf der reellen Achse

$$(s+0,1)(s-a-jb)(s-a+jb) \stackrel{!}{=} s^3 + s^2 + (1+K)s + K$$

$$\begin{aligned} \text{Koeffizientenvergleich:} \quad 1 &= -2a + 0,1 \\ 1+K &= a^2 + b^2 - 0,2a \\ K &= 0,1(a^2 + b^2) \end{aligned}$$

$$\Rightarrow a = -0,45; \quad b = 0,9; \quad K_{min} = 0,1$$

K_{max} : Betrachte komplex konjugierte Äste

$$(s + c)(s + 0,1 - jd)(s + 0,1 + jd) \stackrel{!}{=} s^3 + s^2 + (1 + K)s + K$$

$$\begin{aligned} \text{Koeffizientenvergleich:} \quad & 1 = c + 0,2 \\ & 1 + K = 0,01 + d^2 + 0,2c \\ & K = 0,01c + d^2c \end{aligned}$$

$$\Rightarrow c = 0,8; \quad d = 2,047; \quad K_{max} = 3,36$$

1 Petri Netz (Darstellung in Formular-Form)

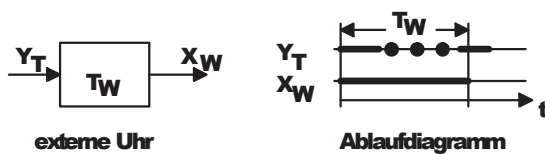
Petri Netz	p_n Stellaktion	
	t_m Transitionsverknüpfung	(Boolescher Ausdruck)
	p_1 : Ruhe (bei ϕ_1) und Arm zurück bewegen	
	$t_1 = E \wedge S_1$	
	p_2 : Zufuhrtransport EIN	
	$t_2 = Z_1$	
	p_3 : Greifen und Warten	
	$t_3 = D_1 \wedge \bar{D}_2 \wedge \bar{X}_W \wedge \bar{Z}_2$ $t_4 = D_1 \wedge D_2 \wedge \bar{X}_W \wedge \bar{Z}_2 \wedge \bar{Z}_3$	
	p_4 : nach ϕ_2 bringen	p_5 : nach ϕ_3 bringen
	$t_5 = S_2$	$t_6 = S_3$
p_6 : Abwurf bei ϕ_2		p_7 : Abwurf bei ϕ_3
$t_7 = \bar{Z}_1 \wedge \bar{Z}_2$		$t_8 = \bar{Z}_1 \wedge \bar{Z}_2 \wedge \bar{Z}_3$

2 Übergangstabelle (Angabe der Verknüpfung in boolescher Schreibweise)

t_m Verknüpfung
$t_1 = E \wedge S_1$
$t_2 = Z_1$
$t_3 = D_1 \wedge \bar{D}_2 \wedge \bar{X}_W \wedge \bar{Z}_2$
$t_4 = D_1 \wedge D_2 \wedge \bar{X}_W \wedge \bar{Z}_2 \wedge \bar{Z}_3$

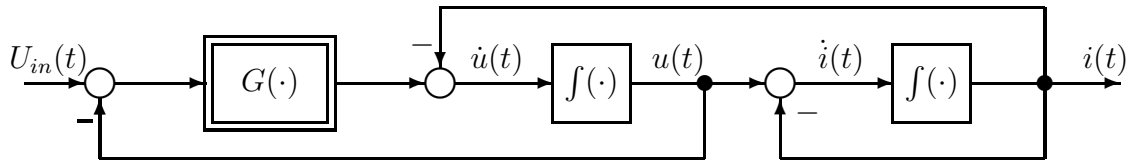
t_m Verknüpfung
$t_5 = S_2$
$t_6 = S_3$
$t_7 = \bar{Z}_1 \wedge \bar{Z}_2$
$t_8 = \bar{Z}_1 \wedge \bar{Z}_2 \wedge \bar{Z}_3$

Wartezeitzeugung mittels externer Uhr :



1. Aufgabe

1.1 Blockschaltbild:



1.2 stationärer Betriebspunkt, Ruhelage $\Rightarrow \dot{i}(t) = \dot{u}(t) = 0$

$$\begin{aligned} \text{(I): } \dot{i}(t) &= -i(t) + u(t) = 0 \Leftrightarrow i(t) = u(t) \\ \text{(II): } \dot{u}(t) &= -i(t) + G(U_{in}(t) - u(t)) = 0 \\ &\Leftrightarrow i(t) = G(U_{in}(t) - u(t))|_{U_{in}(t)=1} = \\ &= ((1 - u(t)) - 1)((1 - u(t)) - 4) = u(t)(u(t) + 3) \end{aligned}$$

Also: $i_{1,2}^* = u_{1,2}^* = \{0, -2\}$

1.3

$$\begin{aligned} \underline{\dot{x}} &= \begin{bmatrix} \dot{i} \\ \dot{u} \end{bmatrix} = \begin{bmatrix} \dot{x}_1 \\ \dot{x}_2 \end{bmatrix} = \begin{bmatrix} f_1(\underline{x}, U_{in}) \\ f_2(\underline{x}, U_{in}) \end{bmatrix}; \quad \Delta \underline{\dot{x}} = \begin{bmatrix} \frac{\partial f_1}{\partial x_1} & \frac{\partial f_1}{\partial x_2} \\ \frac{\partial f_2}{\partial x_1} & \frac{\partial f_2}{\partial x_2} \end{bmatrix} \bigg|_{\text{BP}} \Delta \underline{x} + \begin{bmatrix} \frac{\partial f_1}{\partial U_{in}} \\ \frac{\partial f_2}{\partial U_{in}} \end{bmatrix} \bigg|_{\text{BP}} \Delta U_{in} \\ \frac{\partial f_1}{\partial i} &= -1 \\ \frac{\partial f_1}{\partial u} &= 1 \\ \frac{\partial f_2}{\partial i} &= -1 \\ \frac{\partial f_2}{\partial u} &= \frac{\partial f_2}{\partial u_G} \frac{\partial u_G}{\partial u} = ((u_G - 1) + (u_G - 4))(-1) = 3 \text{ mit } u_G = U_{in} - u = 1 - 0 = 1 \\ \Rightarrow \Delta \underline{\dot{x}} &= \begin{bmatrix} -1 & 1 \\ -1 & 3 \end{bmatrix} \Delta \underline{x} + \begin{bmatrix} 0 \\ -3 \end{bmatrix} \Delta U_{in} \end{aligned}$$

1.4 Eigenwerte der Systemmatrix:

$$\begin{aligned} \det(\lambda E - A) &= \det \begin{bmatrix} \lambda + 1 & -1 \\ 1 & \lambda - 3 \end{bmatrix} = 0 \\ \rightarrow \lambda_{1,2} &= 1 \pm \sqrt{3} \Rightarrow \text{instabil wegen } \lambda_1 > 0 \end{aligned}$$

2. Aufgabe

2.1 Pole : $p_{01} = 0,$
 $p_{02} = -5,$
 $p_{03} = -10$

Nullstellen: keine

Durchlaufrichtung \Rightarrow Die WOK-Äste beginnen für $K_I = 0$ in den Polen des offenen Regelkreises und enden für $K_I \rightarrow \infty$ im unendlichen.

2.2

$$G_0(s) = \frac{K}{s(s+10)(s+5)}$$

$$= \frac{K_I}{s} \underbrace{\frac{K_S(s)}{(s+10)(s+5)}}_{G_S}$$

$$\lim_{t \rightarrow \infty} y(t) = \lim_{s \rightarrow 0} s G_S(s) \underbrace{U(s)}_{\frac{1}{s}} = \frac{K_S}{50} \stackrel{!}{=} 3; \Rightarrow K_S = 150$$

$$G(s) = \frac{G_0(s)}{1 + G_0(s)} = \frac{150K_I}{s^3 + 15s^2 + 50s + 150K_I}$$

2.3 $N_v(s) = a(s^2 + b^2)(s + c)$

wobei: a : Koeffizient von s^3 in $N(s)$
 b : Imag. Wert des conj. komplexen Polpaares auf Imag.-Achse
 c : reeller Pol in linker Halbebene

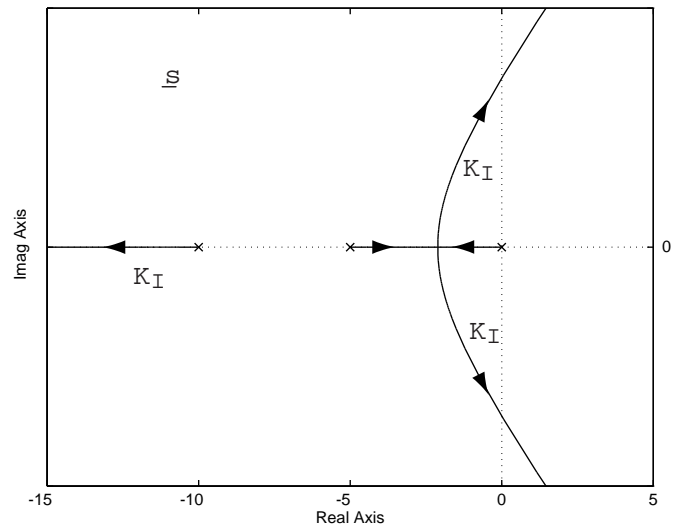
2.4 $N(s) = s^3 + 15s^2 + 50s + 150K_{I,krit} \rightarrow a = 1$

$$\rightarrow N_v(s) = s^3 + cs^2 + b^2s + b^2c$$

$$N_v(s) \stackrel{!}{=} N(s)$$

$$\rightarrow c = 15, b = \pm\sqrt{50},$$

$$\rightarrow K_{krit} = 5, s = \sigma \pm j\omega; \text{ Im kritischen Fall ist } \sigma = 0 \rightarrow \omega_{krit} = |b| = \sqrt{50}$$



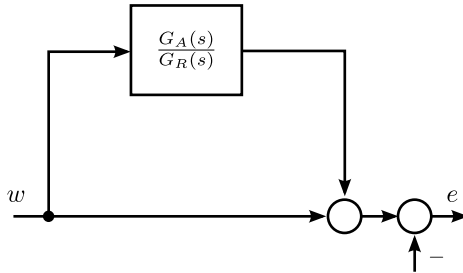
3. Aufgabe:

3.1 $x_2 = f(x_1) = e^{x_1}$

$x_3 \stackrel{!}{=} x_1 \longrightarrow x_3 = f^{-1}(x_2) = \ln(x_2)$

3.2 $\ln(e^x) = x$ gilt arbeitspunktunabhängig für alle $x \in \mathbb{R}$ ($\ln(x)$ mit $x \leq 0$ ist ausgeschlossen, da $e^x \geq 0 \forall x \in \mathbb{R}$) und somit über den kompletten Großsignalbereich.

3.3



$$G_V(s) = 1 + \frac{c(1+s)}{a+bs}$$

3.4 Übertragungsfunktion des geschlossenen Kreises ohne Aufschaltung: $G_S(s) = \frac{W(s)}{X(s)} = \frac{5(a+bs)}{(1+5b)s + (1+5a)}$

Hurwitz: $(1+5a) > 0$, $(1+5b) > 0 \longrightarrow a > -0,2$; $b > -0,2$

Aufschaltungen bringen keine neuen Schleifen ins System (Skript Kap. 9.1) \longrightarrow keine Auswirkung auf die Systemdynamik (Nenner der Übertragungsfunktion des geschlossenen RK) \Rightarrow nicht stabilitätsrelevant

3.5 o.B.d.A.: $t_0 = 0$. Die Rampenanregung erfolgt ausgehend vom Arbeitspunkt (w_0, x_0) \rightarrow kein Sprung auf w_0 sondern nur eine Rampe von w_0 ausgehend: $W(s) = 3\frac{1}{s^2}$. Jedoch interessiert uns hier der gesamte Fehler, also auch der der sich nach langer Zeit am Arbeitspunkt (w_0, x_0) eingestellt hat \rightarrow wie in alter Musterlösung $W(s) = w_0\frac{1}{s} + 3\frac{1}{s^2}$

$$\lim_{t \rightarrow \infty} e(t) = \lim_{s \rightarrow 0} s(1 - G_S(s)) \underbrace{W(s)}_{w_0\frac{1}{s} + 3\frac{1}{s^2}} = \lim_{s \rightarrow 0} w_0 \underbrace{\frac{1+s}{(1+5b)s + (1+5a)}}_{\rightarrow \frac{w_0}{1+5a}} + 3 \underbrace{\frac{1+s}{s((1+5b)s + (1+5a))}}_{\rightarrow \infty} \rightarrow \infty$$

Alternative Begründung: Alle Blöcke Global-P, Rampenanregung $\longrightarrow e(t \rightarrow \infty) \rightarrow \infty$

3.6 Ideales Führungsverhalten $\longrightarrow G_w(s) \stackrel{!}{=} 1$

$$G_w(s) = \frac{5((a+c) + (b+c)s)}{(1+5a) + (1+5b)s} \stackrel{!}{=} 1 \Rightarrow \left. \begin{aligned} 5(a+c) &= 5a+1 \\ 5(b+c) &= 5b+1 \end{aligned} \right\} c = 0,2$$

4. Aufgabe:

4.1 $N(s) = Z_0(s) + N_0(s) = (K_P s + 1)2 + s(1 + 2s) = 2s^2 + (1 + 2K_P)s + 2$

$$s = \frac{-2K_P - 1 \pm \sqrt{(2K_P + 1)^2 - 16}}{4}$$

aperiodischer Grenzfall \leftrightarrow Dämpfung $D = 1 \leftrightarrow$ reeller Doppelpol \leftrightarrow Diskriminante $= 0$

$$\rightarrow (2K_P + 1)^2 - 16 = 4K_P^2 + 4K_P - 15 = 0$$

$$K_P = \frac{-4 \pm \sqrt{16 + 240}}{8} = -0.5 \pm 2$$

($K_P = -2.5$ keine sinnvolle Lösung, da Pole bei $p_{1/2} = -1 \pm 1.118...$ liegen, somit der innere Regelkreis instabil ist.)

$$\rightarrow K_P = 1.5$$

4.2 Federverhalten hat globale P-Charakteristik, Kombination von 2 Federn ebenfalls \rightarrow gesamt P-Verhalten

4.3 globales P-Verhalten bei konstanter Sollkraft und Regelfehler=0 \rightarrow mindestens I-Regler (Tabelle 6.1)

4.4 Iteratives Probieren: Filter 1.Ordnung $G_F(s) = \frac{1}{1 + \frac{1}{\omega_G} s} = \frac{1}{1 + 0,5s}$

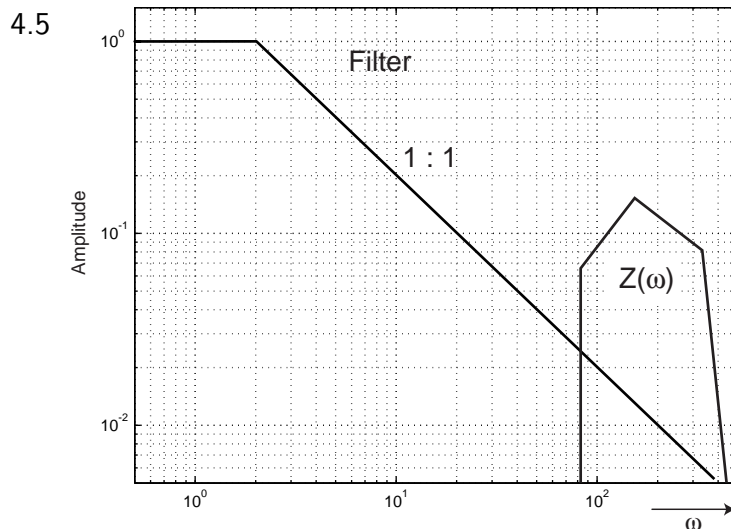
kleinste Frequenz des Störspektrums $\omega_{Z,min} \approx 80$

Amplitude des Filters im Schnittpunkt mit Störspektrum:

$$|G_F(j\omega_{Z,min})| = \left| \frac{1}{1 + 40j} \right| = \left| \frac{1 - 40j}{1 + 1600} \right| = \sqrt{\left(\frac{1}{1601}\right)^2 + \left(\frac{40}{1601}\right)^2} = 0.025$$

$$\text{Mindestdämpfung} = \frac{1}{0.025} = 40$$

\rightarrow Filter 1.Ordnung ausreichend, keine weiteren Iterationen nötig



Stationär 1, Knick bei ω_G

$$\rightarrow G_F(s) = \frac{1}{1 + 0,5s}$$

5. Aufgabe:

5.1

$$G_0(j\omega) = K_R \frac{K_S}{\frac{L}{g}s^2 + Ds + 1} \frac{1}{1 + s0.1} \bigg|_{s=j\omega} = K_R \frac{1}{-\omega^2 + j0.8\omega + 1} \frac{1}{1 + j\omega0.1}$$

5.2

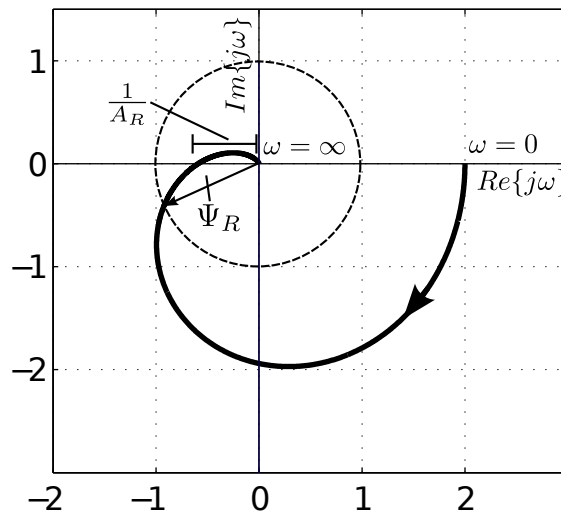
$$\begin{aligned} G_0(j\omega) &= \frac{(-\omega^2 + 1 - j0.8\omega)(1 - j0.1\omega)}{\underbrace{(-\omega^2 + 1 + j0.8\omega)(-\omega^2 + 1 - j0.8\omega)(1 + j0.1\omega)(1 - j0.1\omega)}_{N(\omega)}} \\ &= K_R \frac{-1.08\omega^2 + 1 + j(0.1\omega^3 - 0.9\omega)}{N(\omega)} \\ &\stackrel{!}{=} -1 + j0 \\ \operatorname{Im}\{G_0(j\omega)\} &= 0.1\omega^3 - 0.9\omega \stackrel{!}{=} 0 \\ &\rightarrow \omega_{krit,1} = 0; \omega_{krit,2/(3)} = \pm 3 \\ \operatorname{Re}\{G_0(j\omega)\} &= K_R \frac{-1.08\omega^2 + 1}{N(\omega)} \stackrel{!}{=} -1 \\ &\rightarrow K_{R,krit,1} = -1; K_{R,krit,2} = 8.72 \end{aligned}$$

5.3

$$\begin{aligned} p_{1/2} &= \frac{-0.8 \pm \sqrt{0.8^2 - 4}}{2} = -0.4 \pm j0.92; p_3 = -10 \\ &\rightarrow n_a = n_r = 0 \\ &\Rightarrow W_{soll} = W_{ist} = 0 \end{aligned}$$

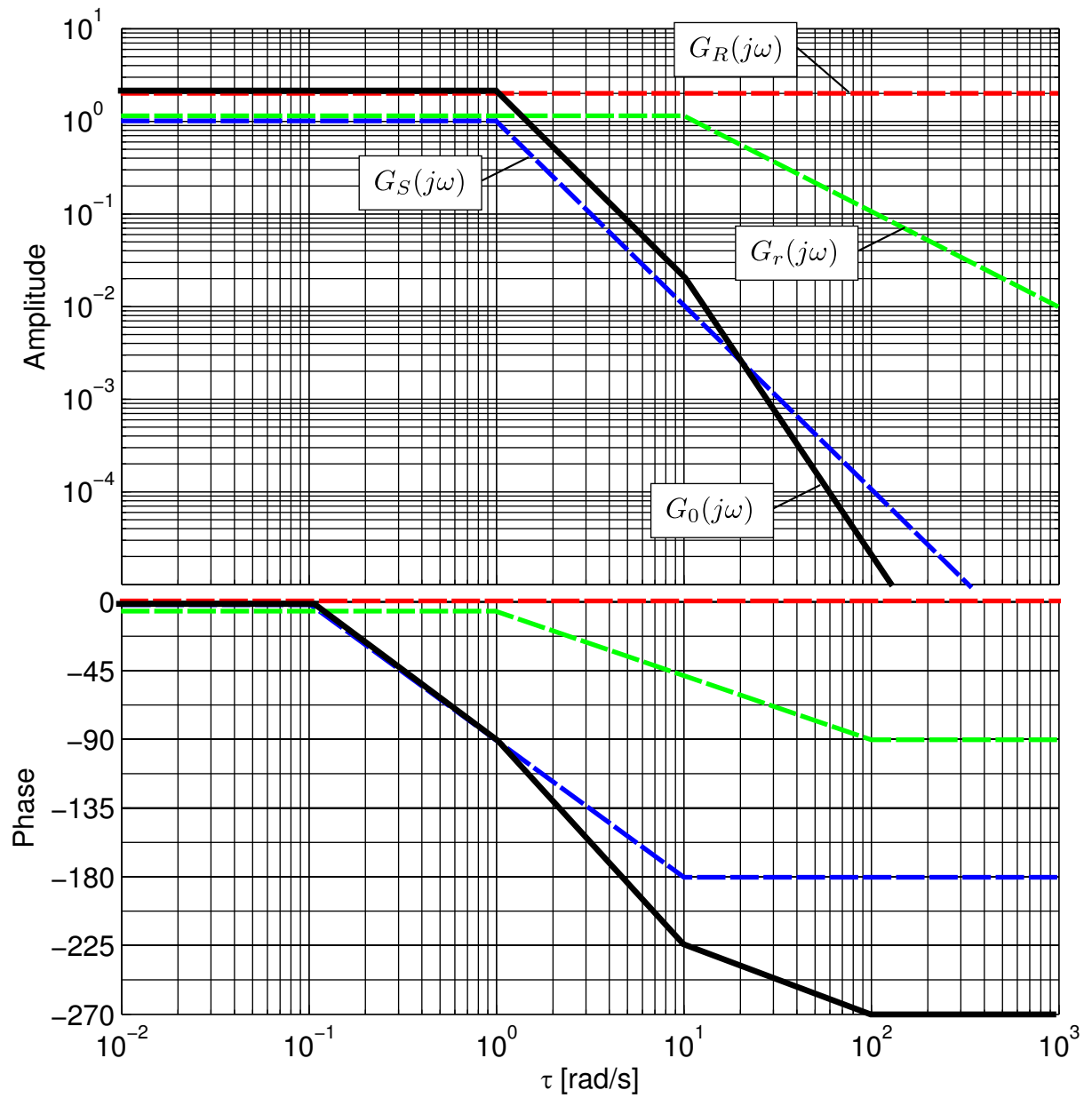
Da $K_R = 2$ stabiles Systemverhalten zeigt, ist der Stabilitätsbereich von K_R :
 $-1 < K_R < 8.72$

5.4



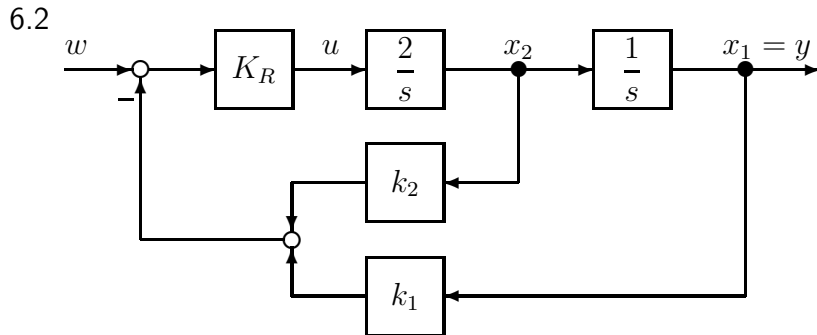
5.5 Die Pole des geschlossenen Regelkreises liegen dann auf der imaginären Achse (grenzstabiler Fall) \Rightarrow keine Dämpfung im System.

5.6



6. Aufgabe

6.1 $Q_{SZ} = [b \quad \mathbf{A} b] = \begin{bmatrix} 0 & 2 \\ 2 & 0 \end{bmatrix} \quad \det(Q_{SZ}) \neq 0 \implies \text{System ist vollständig steuerbar}$



6.3

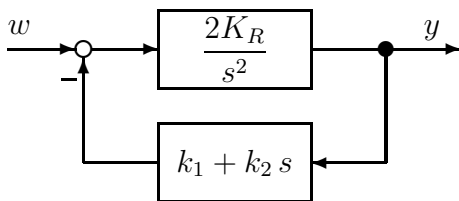
$$\begin{aligned} \text{aus } \dot{\underline{x}} &= \begin{bmatrix} 0 & 1 \\ 0 & 0 \end{bmatrix} \underline{x} + \begin{bmatrix} 0 \\ 2 \end{bmatrix} K_R (w - \underline{k}^T \underline{x}) \quad \text{folgt} \\ \dot{\underline{x}} &= \begin{bmatrix} 0 & 1 \\ -2K_R k_1 & -2K_R k_2 \end{bmatrix} \underline{x} + \begin{bmatrix} 0 \\ 2K_R \end{bmatrix} w \\ \text{also } A_{Reg} &= \begin{bmatrix} 0 & 1 \\ -2K_R k_1 & -2K_R k_2 \end{bmatrix} \\ \text{char. Polynom: } \det \begin{bmatrix} \lambda & -1 \\ 2K_R k_1 & \lambda + 2K_R k_2 \end{bmatrix} &= \lambda^2 + 2K_R k_2 \lambda + 2K_R k_1 = 0 \\ \implies \lambda_{1,2} &= -K_R k_2 \pm \sqrt{K_R^2 k_2^2 - 2K_R k_1} \end{aligned}$$

6.4 Schnellstmögliche Einschwingen \rightarrow Dämpfung $D = \frac{\sqrt{2}}{2}$ (Skript Kap. 4.4)

PT₂ System: Eigenwerte bei $\lambda_{1,2} = -\omega_0 D \pm j\omega_0 \sqrt{1 - D^2} = -\omega_0 D \pm j\omega_0^2 (D^2 - 1)$.

$$\text{Koeffizientenvergleich: } \begin{cases} -K_R k_2 = -D\omega_0 = \frac{\sqrt{2}}{2} \rightarrow k_2 = \frac{\sqrt{2}}{2K_R} \\ K_R^2 k_2^2 - 2K_R k_1 = \omega_0^2 (D^2 - 1) = -\frac{1}{2} \rightarrow k_1 = \frac{1}{2K_R} \end{cases}$$

6.6 Vereinfachtes Blockschaltbild:



$$\rightarrow \frac{Y(s)}{W(s)} = \frac{2K_R}{s^2 + 2K_R k_2 s + 2K_R k_1} \Big|_{k_1 = \frac{1}{2K_R}, k_2 = \frac{\sqrt{2}}{2K_R}} = \frac{2K_R}{s^2 + \sqrt{2}s + 1}$$

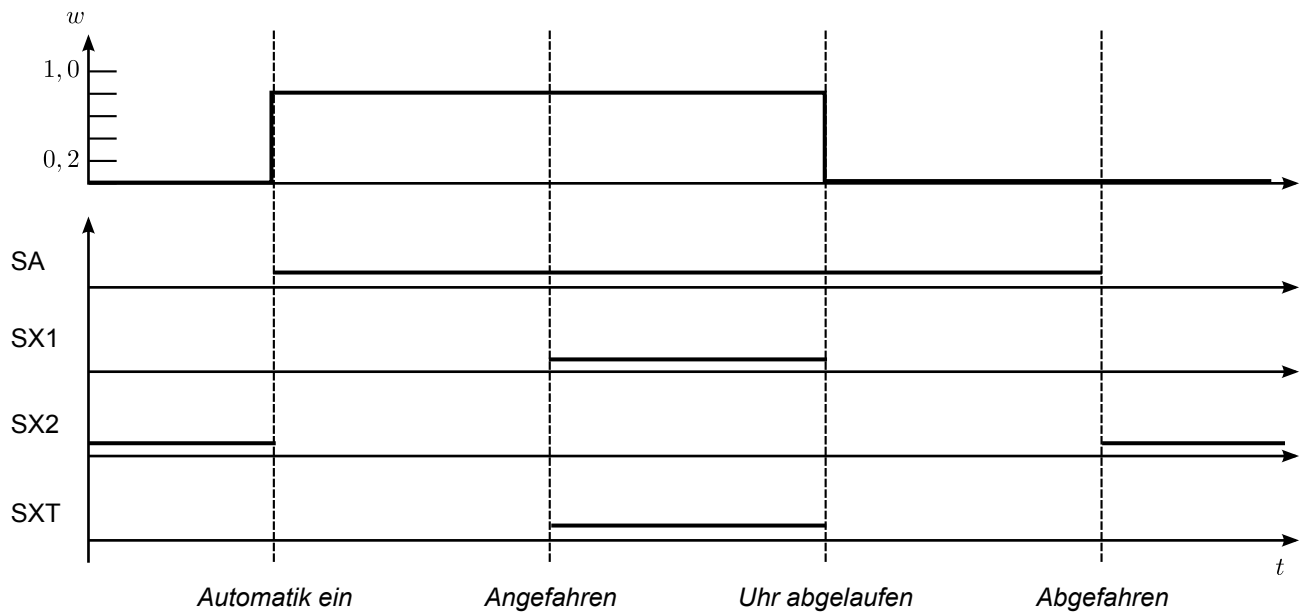
$$w = \sigma(t) \rightarrow x(t \rightarrow \infty) = \lim_{s \rightarrow 0} \frac{2K_R}{s^2 + \sqrt{2}s + 1} \stackrel{!}{=} 1$$

$$\rightarrow K_R = 0,5$$

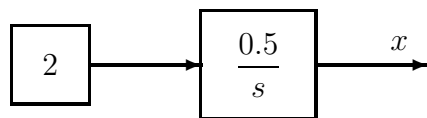
7. Aufgabe:

7.1 Aus dem *Ruhezustand* wird die Regelstrecke gesteuert auf den Arbeitspunkt 0,8 angefahren. Ist dieser erreicht, schaltet die Betriebsartensteuerung in den Regelungsmodus – das System ist im Zustand *Betrieb*. In diesem Modus regelt ein P-Regler die Regelgröße x auf einen festen Wert w_{soll_1} . Nach Ablauf der Uhr ($T = 1,0$) wird der Sollwert der Regelung auf w_{soll_2} umgeschaltet, bis die Regelgröße auf 0,0 abgefallen ist. Ab diesem Zeitpunkt schaltet das System in den *Ruhezustand* zurück.

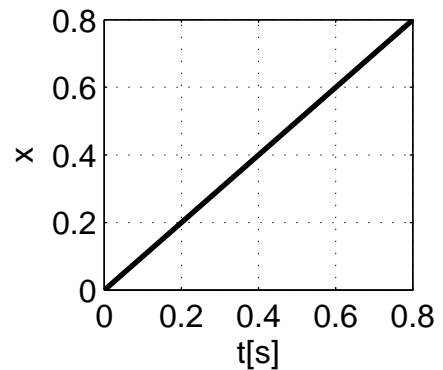
7.2



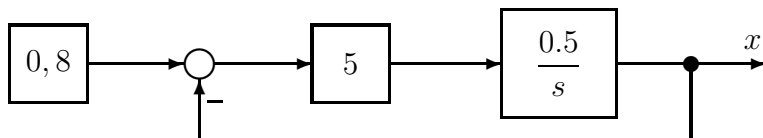
7.3 i) Während des Anfahrens hat das System open-loop Charakteristik:



$$X(s) = Y_A G_S(s) = \frac{2 \cdot 0.5}{s \cdot s} = \frac{1}{s^2} \quad \bullet \circ \quad x(t) = t;$$

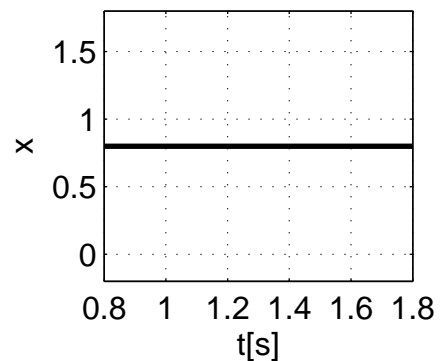


ii) In der Betriebsphase soll die Position konstant gehalten werden für die Zeit $T = 1 \text{ sec}$.

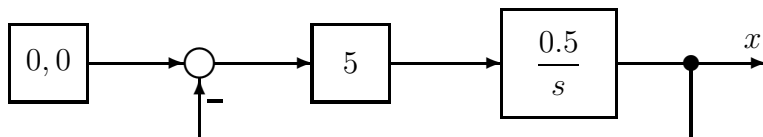


$$G_w(s) = \frac{1}{1 + 0.4s}$$

Bei Start der Regelschleife gilt bereits $x(t) = 0.8 = w_{\text{soll}1} \rightarrow e(t) = 0$, der Wert von $x(t) = 0.8$ (zuvor bereits durch $G_S(s) \frac{0.5}{s}$ aufintegriert) wird für die Zeitdauer von $0.8 < t \leq 1.8$ gehalten.



iii)



Ansatz: Negativer Sprung in Führungsgröße von $w^{**} = -0.8\sigma(t)$ bei Startwert $x^{**} = 0$ zum Zeitpunkt $t^{**} = 0$.

$$\begin{aligned} X^{**}(s) &= G_w(s) W^{**}(s) = \frac{1}{1 + 0.4s} \left(-\frac{0.8}{s} \right) \\ &= -2 \frac{1}{(2.5 + s)s} \end{aligned}$$

$$\bullet \circ \quad x^{**}(t) = -0.8 + 0.8e^{-2.5t}$$

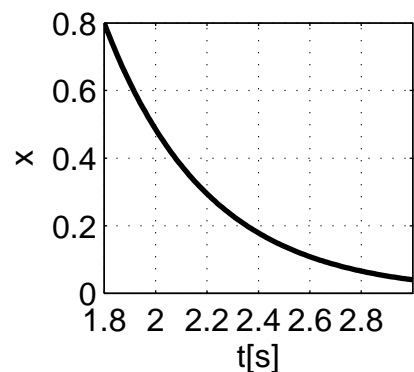
Korrektur:

1. Verschieben zu tatsächlichem Anfangswert $x_0 = 0.8$:

$$x^*(t) = x^{**} + 0.8 = 0.8e^{-2.5t}$$

2. Verschieben zu tatsächlicher Anfangszeit $t_0 = 1.8$:

$$x(t) = 0.8e^{-2.5(t-1.8)} \quad t \geq 1.9$$



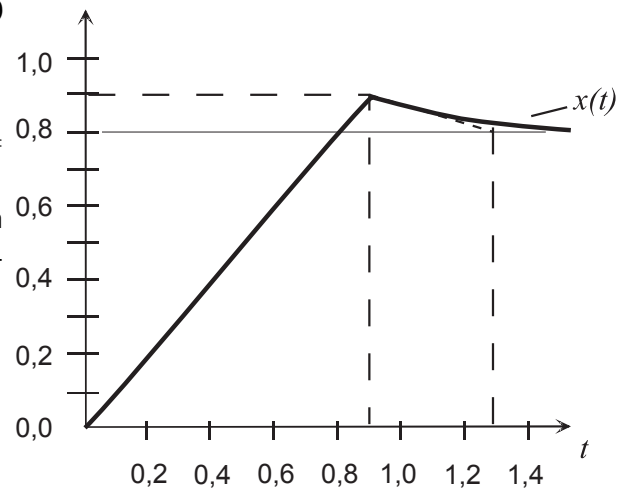
7.4 12,5% \rightarrow Umschalten bei $t = 1.125 \cdot 0.8 = 0.9$
und $x(0.9) = 0.9$

\rightarrow Negativer Sprung von $x = 0.9$ zu $w_{soll_1} = 0.8$

Ansatz wie in 7.3 iii): Negativer Sprung in Führungsgröße von $w^{**} = -0.1\sigma(t)$ bei Startwert $x^{**} = 0$ zum Zeitpunkt $t^{**} = 0$.

$$\begin{aligned} X^{**}(s) &= G_w(s)W^{**}(s) \\ &= \frac{1}{1+0.4s} \left(-\frac{0.1}{s} \right) \end{aligned}$$

$$\bullet \circ \quad x^{**}(t) = -0.1 + 0.1e^{-2.5t}$$



Korrektur:

1. Verschieben zu tatsächlichem Anfangswert $x_0 = 0.9$:

$$x^*(t) = x^{**} + 0.9 = 0.8 + 0.1e^{-2.5t}$$

2. Verschieben zu tatsächlicher Anfangszeit $t_0 = 0.9$:

$$x(t) = 0.8 + 0.1e^{-2.5(t-0.9)} \quad 0.9 < t \leq 1.9$$